

自动控制原理实验一

——线性系统的时域分析

小组成员：潘鑫海（2015301200201）

夏可为（2015301200168）

指导教师：王泉德 教授

一、线性系统的时域分析

1.1 典型环节的模拟研究

1.1.1 基本原理

(1) 比例环节

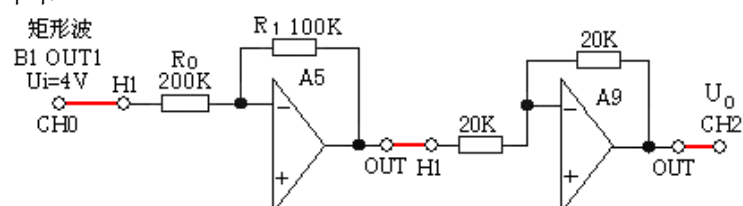


图 1.1.1 比例环节

传递函数: $G(S) = \frac{U_o(S)}{U_i(S)} = K$ $K = \frac{R_1}{R_0}$; 单位阶跃响应: $U(t) = K = 0.5$

(2) 惯性环节

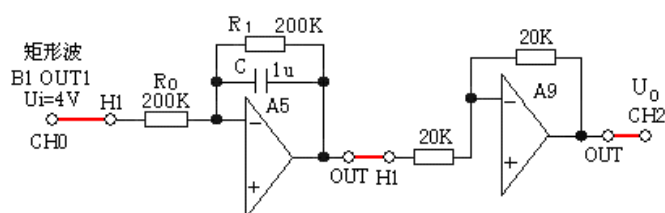


图 1.1.2 惯性环节

传递函数: $G(S) = \frac{U_o(S)}{U_i(S)} = \frac{K}{1+TS}$ $K = \frac{R_1}{R_0}$ $T = R_1 C$ 单位阶跃响应:

$$U_o(t) = K(1 - e^{-\frac{t}{T}})$$

(3) 积分环节

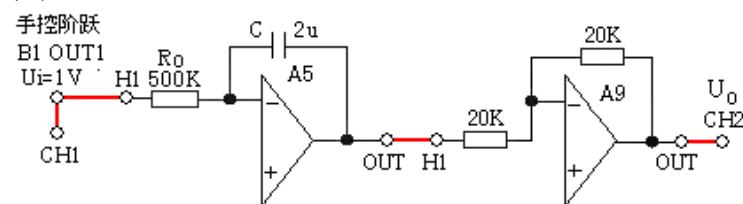


图 1.1.3 积分环节

传递函数: $G(S) = \frac{U_o(S)}{U_i(S)} = \frac{1}{TS}$ $T_i = R_0 C$ 单位阶跃响应: $U_o(t) = \frac{1}{T_i} t$

(4) 比例积分环节

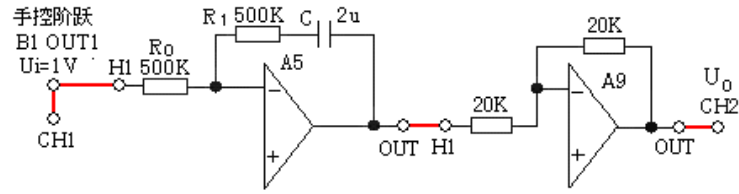


图 1.1.4 比例积分环节

传递函数: $G(S) = \frac{U_o(S)}{U_i(S)} = K(1 + \frac{1}{T_i S})$ $K = \frac{R_1}{R_0}$ $T_i = R_1 C$

单位阶跃响应: $U_o(t) = K (1 + \frac{t}{T})$

(5) 比例微分环节

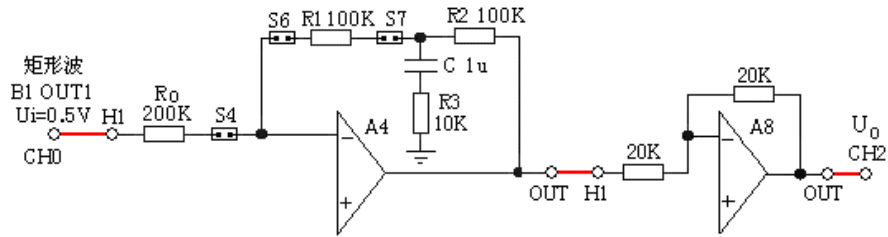


图 1.1.5 比例微分环节

比例微分环节+惯性环节的传递函数: $G(S) = \frac{U_o(S)}{U_i(S)} = K(\frac{1+TS}{1+\tau S})$

微分时间常数: $T_D = (\frac{R_1 R_2}{R_1 + R_2} + R_3)C$ 惯性时间常数: $\tau = R_3 C$

$K = \frac{R_1 + R_2}{R_0}$ $K_D = \frac{(R_1 // R_2) + R_3}{R_3}$ $T_D = K_D \times \tau = 0.06S$

单位阶跃响应: $U_o(t) = K T \delta(t) + K$

(6) PID 环节

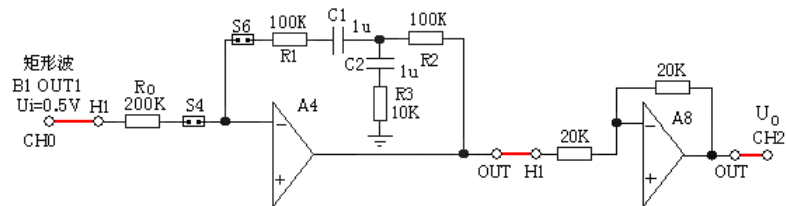


图 1.1.6 PID 环节

典型比例积分环节的传递函数: $G(S) = \frac{U_o(S)}{U_i(S)} = K_p + \frac{K_p}{T_i S} + K_p T_d S$

$T_d = (\frac{R_1 R_2}{R_1 + R_2} + R_3)C_2$, $T_i = (R_1 + R_2)C_1$, $K_p = \frac{R_1 + R_2}{R_0}$

$K_D = \frac{(R_1 // R_2) + R_3}{R_3}$

惯性时间常数: $\tau = R_3 C_2$ $T_d = K_D \times \tau$

单位阶跃响应: $U_o(t) = K_p T_d \delta(t) + K_p + \frac{K_p}{T} t$

1.1.2 实验步骤

按照电路图将实验箱上面对应的模块连接起来，并插好跳线帽。电脑端先点击下载（配置信号源和示波器），再点击开始，观察绘制出来的单位阶跃响应曲线。

1.1.3 实验结果与效果分析

（1）比例环节

如图 1.7 所示为比例环节的阶跃响应，由于 $K=0.5$ ，故输入阶跃幅值为 4V，输出阶跃响应幅值为 2V。

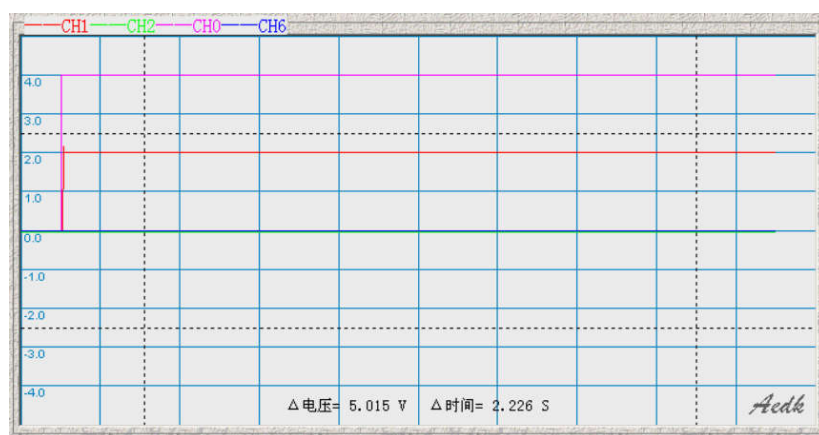


图 1.1.7 比例环节阶跃响应

（2）惯性环节

如图 1.8 所示为惯性环节的阶跃响应，由于 $K=1$ ，故输出阶跃响应的最后的稳态值与输入一致。

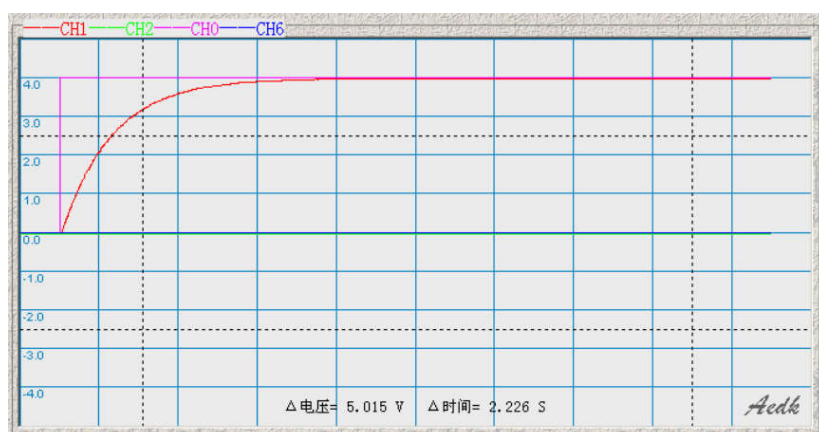


图 1.1.8 惯性环节阶跃响应

(3) 积分环节

如图 1.9 所示为积分环节的阶跃响应,此处没有采用手控阶跃信号作为输入,而是选取了阶跃信号作为输入,系统对输入进行积分(不断累加),故输出应为一斜线,受制于供电电压,所以最后会稳定于 5V(供电电压)。

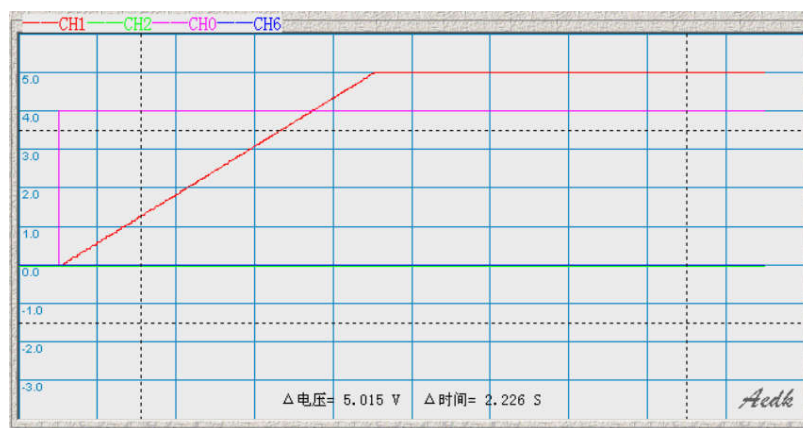


图 1.1.9 积分环节

(4) 比例积分环节

如图 1.10 所示为比例积分环节的阶跃响应,分析与积分环节基本相同。

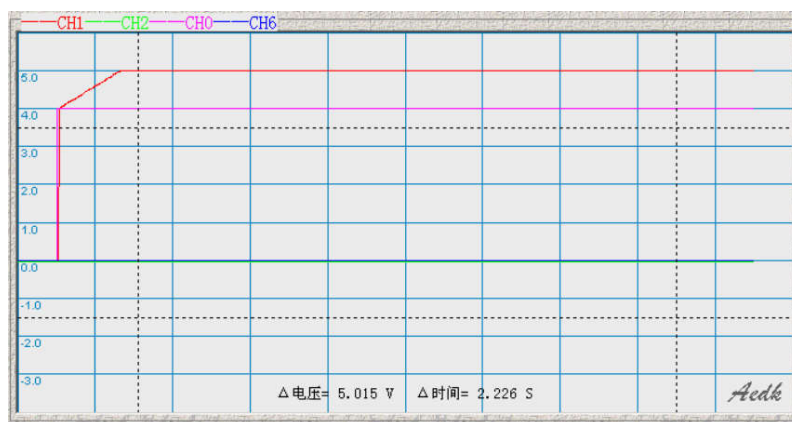


图 1.1.10 比例积分环节

(5) 比例微分环节

如图 1.11 所示为比例微分环节的阶跃响应。移动虚拟示波器两根横游标,从最高端开始到 $\Delta V=0.82V$ 处为止,得到与微分的指数曲线的交点,再移动虚拟示波器两根纵游标,从阶跃开始到曲线的交点,量得 $\tau = \Delta t=0.011S$ 。

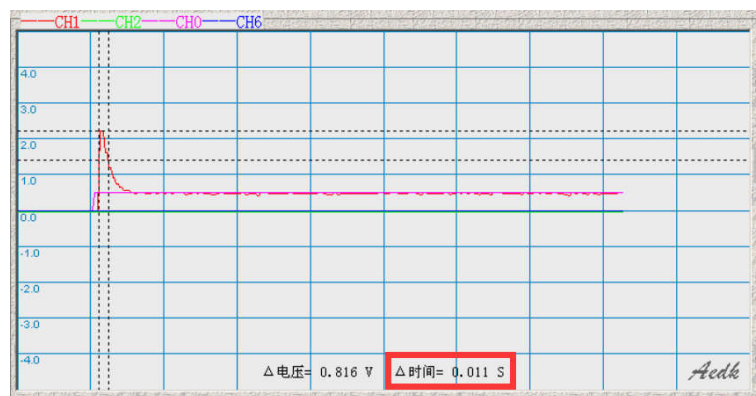


图 1.1.11 比例微分环节

(6) PID 环节

如图 1.12 所示为 PID 环节的阶跃响应。移动虚拟示波器两根横游标使之 $\Delta V = K_p \cdot \text{输入电压} = \text{输入电压}$ ，得到与积分的曲线的两个交点。再分别移动示波器两根纵游标到积分的曲线的两个交点，量得积分环节模拟电路时间常数 $T_i = 0.216\text{s}$ 。

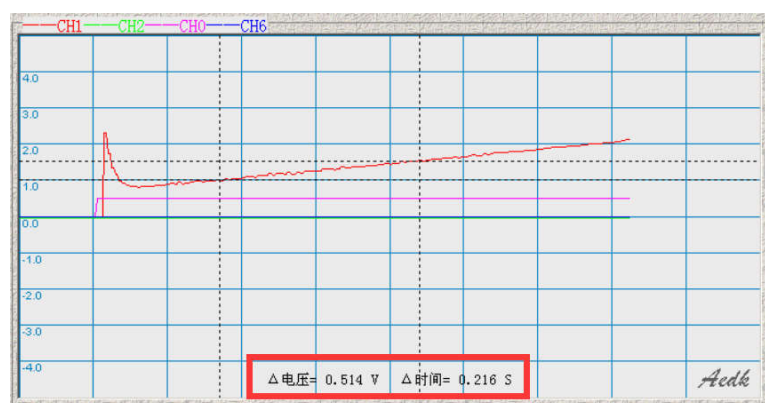


图 1.1.12 PID 环节_积分时间常数

将 A4 单元的 S7 短路套套上，重新测试。移动虚拟示波器两根横游标，从最高端开始到 $\Delta V = 0.82\text{V}$ 处为止，得到与微分的指数曲线的交点，再移动虚拟示波器两根纵游标，从阶跃开始到曲线的交点，量得 $\tau = \Delta t = 0.011\text{s}$ 已知 $K_D = 6$ ，则 PID 环节模拟电路微分时间常数： $T_d = K_D \times \tau = 0.066\text{s}$

为 $\phi(s) = \frac{\omega_n^2}{S^2 + 2\xi\omega_n S + \omega_n^2} = \frac{10K}{S^2 + 10S + 10K}$ 。则 $\xi = \frac{5}{\sqrt{10K}}$ ，即可通过改变系统开环增益来改变系统的阻尼系数。

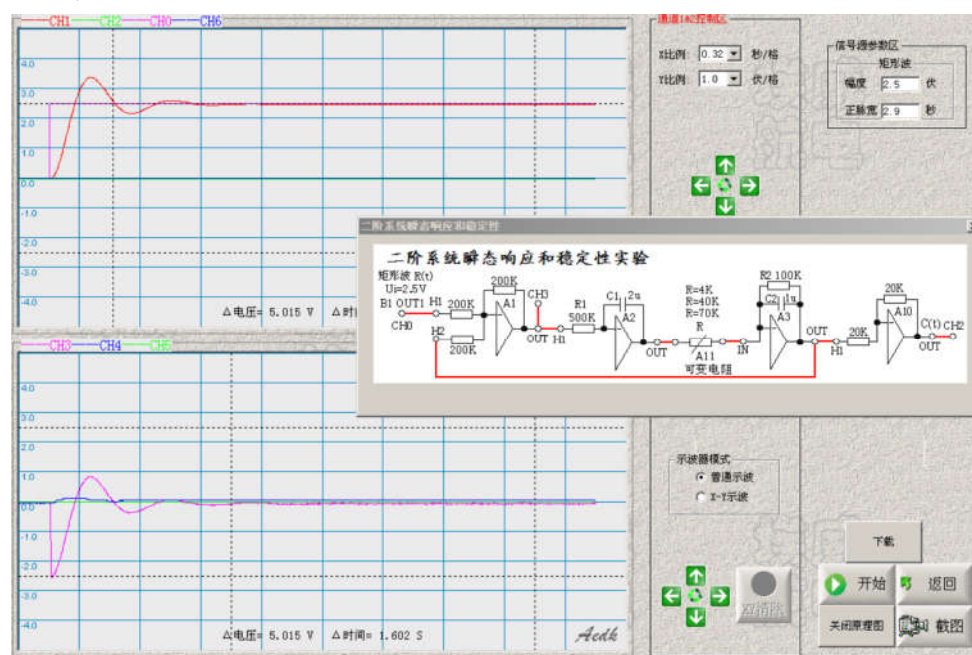
1.2.2 实验步骤

- (1) 根据实验指导书安置短路套，插孔连线；
- (2) 分别将 (A11) 中的直读式可变电阻分别调整为 4K、40K、70K，运行后观察运行结果。

1.2.3 实验结果与效果分析

(1) $R = 4k$ (ξ 最小)

如图 1.2.2 所示，为 $R=4k$ 是本实验电路的阶跃响应曲线。可见由于 $R=4k$ 时 ξ 较小，系统处于欠阻尼状态，存在超调量和峰值时间，需要震荡一段时间才能进入稳态。



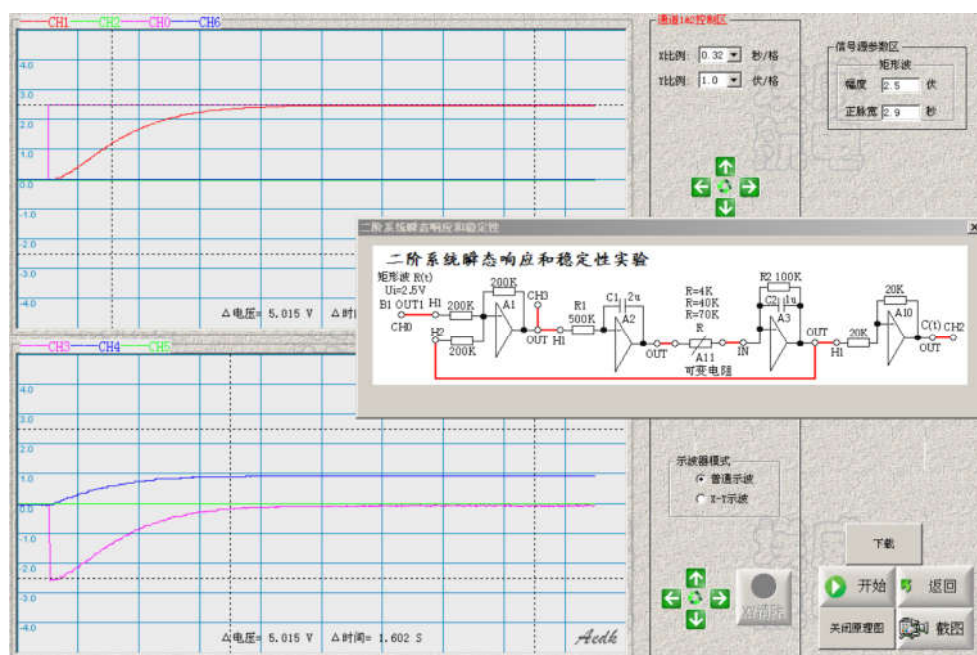


图 1.2.3 R 为 40k 时系统阶跃响应

(3) $R = 70k$ (ξ 最大)

如图 1.2.4 所示，为 $R=70k$ 是本实验电路的阶跃响应曲线。可见由于 $R=70k$ 时 ξ 较大，系统处于过阻尼状态，不会出现振荡和过冲，超调量为零，但是调节时间过长（ R 越大， ξ 越大，所需调节时间越长）。

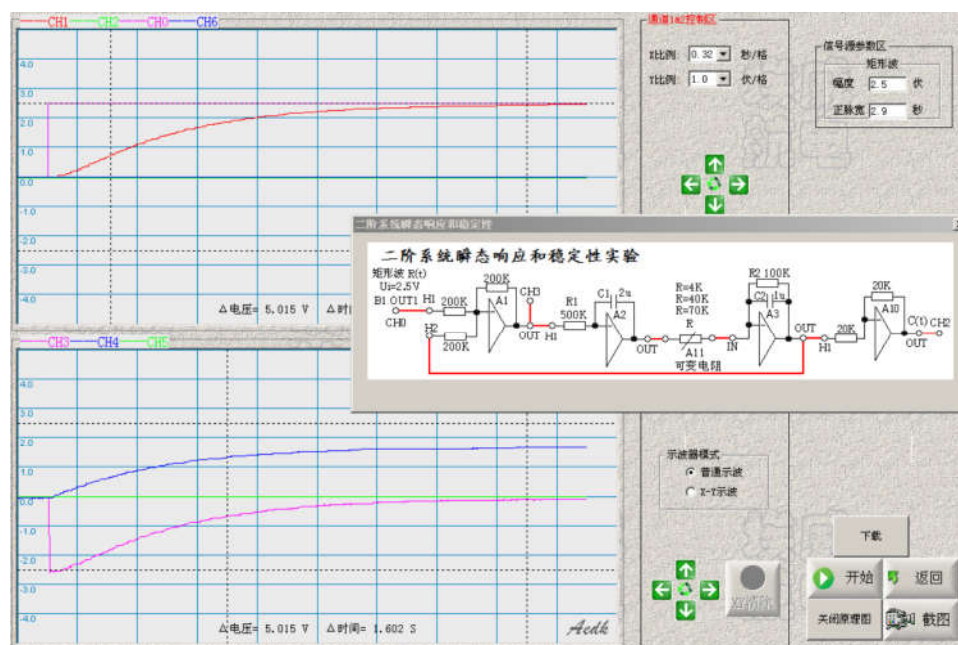


图 1.2.4 R 为 70k 时系统阶跃响应

1.3 三阶系统的瞬态响应和稳定性

1.3.1 基本原理

如图 1.3.1 所示,为本实验电路图。由一个加法器(A1),一个积分环节(A2),两个惯性环节(A3、A6)和一个射极跟随器(A8)构成。

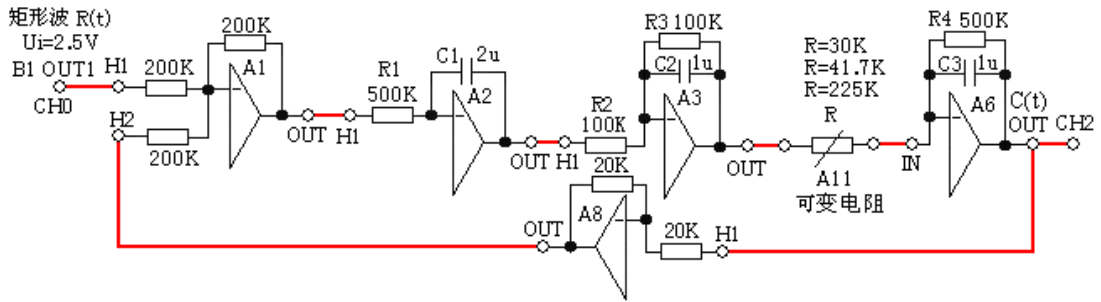


图 1.3.1 I型三阶闭环系统

A1 为一个 1:1 的加法器,有两个输入,一个为信号输入,另一个为输出反馈;

A2 为一积分环节,其传递函数为 $G_1(j\omega) = \frac{1}{j\omega R_1 C_1}$, 积分时间常数为 $\tau = R_1 C_1 = 1$ 秒;

A3 和 A6 均为惯性环节;A3 的惯性时间常数 $T_1 = R_3 * C_2 = 0.1$ 秒, $K_1 = R_3 / R_2 = 1$, A6 的惯性时间常数 $T_2 = R_4 * C_3 = 0.5$ 秒, $K = R_4 / R = 500K / R$;

该电路的开环传递函数为:

$$G(S) = \frac{K}{S(0.1S+1)(0.5S+1)} = \frac{K}{0.05S^3 + 0.6S^2 + S}$$

该电路的闭环传递函数为:

$$\phi(S) = \frac{K}{S(0.1S+1)(0.5S+1) + K} = \frac{K}{0.05S^3 + 0.6S^2 + S + K}$$

1.3.2 实验步骤

(1) 根据实验指导书安置短路套,插孔连线;

(2) 分别将(A11)中的直读式可变电阻分别调整为 30k (K=16.7)、41.7k (K=12)、225.2k (K=2.22),运行后观察运行结果。

1.3.3 实验结果与效果分析

(1) $R = 30k$ (ξ 最小)

如图 1.3.2 所示，为 $R=30k$ 是本实验电路的阶跃响应曲线。可见由于 $R=30k$ 时 ξ 太小，阶跃响应呈现震荡趋势，并且幅度逐渐变大，系统处于不稳定状态（由于供电电压限制，故震荡波形的上半周存在截止失真）。

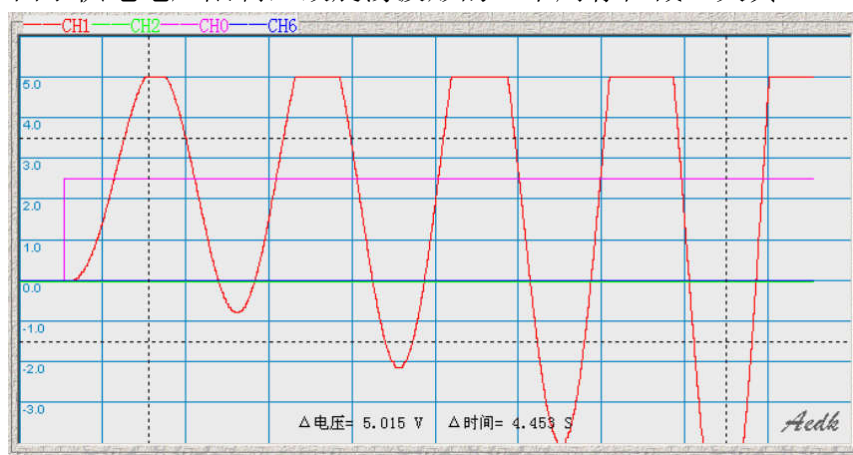


图 1.3.2 R 为 $30k$ 时系统阶跃响应

(2) $R = 41.7k$ (ξ 居中)

如图 1.3.4 所示，为 $R=41.7k$ 是本实验电路的阶跃响应曲线。可见由于 $R=41.7k$ 时 ξ 较大，系统处于临界阻尼状态，系统的阶跃响应为一正弦波（幅度保持不变），系统处于临界稳定（实际工程中振荡器的工作状态）。

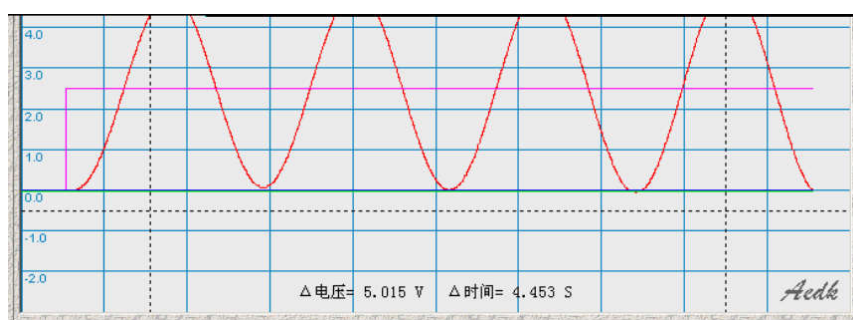


图 1.3.3 R 为 $41.7k$ 时系统阶跃响应

(3) $R = 225.2k$ (ξ 最大)

如图 1.3.4 所示，为 $R=225.2k$ 是本实验电路的阶跃响应曲线。可见由于 $R=225.2k$ 时 ξ 较大，系统处于过阻尼状态，不会出现震荡和过冲，超调量为零，但是调节时间过长（ R 越大， ξ 越大，所需调节时间越长）。（做实验的时候图片保存出现了问题，这张图片无法打开……所以就没有配图了）